



Research Paper

Evaluation of Three Design Approaches of a Bipropellant Propulsion System Including Multidisciplinary Design Optimization, Robust and Optimum-Robust

A.H. Adami^{1*}, H. Taie²and M. Hozori³

1, 2, 3. Department of Aerospace University Complex, MalekAshtar University of Technology Tehran, IRAN

* Adami_amir@mut.ac.ir

Considering the importance of complex engineering systems design in the presence of uncertainties, this research investigates multidisciplinary design optimization process for a bipropellant propulsion system in the presence of uncertainties, which results in minimizing the system mass as well as having a high robust. Accordingly, the multidisciplinary design approach of the bipropellant propulsion system is expressed in both optimum design and optimum robust design. By applying uncertainties, the mass, operational, and geometric results of the propulsion system are expressed in terms of optimum design, robust design, and optimum robust design. According to the results, it is shown that the lowest mass occurs in optimum design mode however, in the presence of uncertainties, it is observed that it has the least robust and reliability. Furthermore, It attempts to explain the difference between the concepts of robust design and optimum design based on results.

Keywords: Multidisciplinary design optimization, Bipropellant propulsion system, Uncertainty, Robust design optimization

1. Assistant Professor(Corresponding Author)
2. Assistant Professor
3. M. Sc. Student

مقاله علمی - پژوهشی

ارزیابی سه روش طراحی بهینه، مقاوم و بهینه مقاوم چند موضوعی سامانه پیشرانش دومولفه‌ای

امیرحسین آدمی^{۱*}، حجت طائی^۲ و منصور حضوری^۳

۱، ۲ و ۳- مجتمع دانشگاهی هواپیما، دانشگاه صنعتی مالک اشتر، تهران، ایران

*Adami_amir@mut.ac.ir

با توجه به اهمیت حضور عدم قطعیت‌ها در طراحی سیستم‌های پیچیده مهندسی، در این پژوهش، روند طراحی بهینه چند موضوعی سیستم پیشرانش دومولفه‌ای در حضور عدم قطعیت‌ها ارائه می‌گردد که علاوه بر کمینه‌کردن جرم سیستم از مقاومت مطلوبی نسبت به عدم قطعیت‌ها برخوردار باشد. براین اساس روند نمایی طراحی چند موضوعی سیستم پیشرانش دومولفه‌ای در دو حالت طراحی بهینه و طراحی بهینه مقاوم نشان داده می‌شود. سپس با اعمال عدم قطعیت‌ها، نتایج جرمی، عملکردی و هندسی سیستم پیشرانش به نفعی برای طراحی بهینه، طراحی مقاوم و طراحی بهینه مقاوم بیان می‌گردد. با توجه به نتایج نشان داده می‌شود که کمترین جرم در حالت طراحی بهینه اتفاق می‌افتد. اما با اعمال عدم قطعیت‌ها در این نقطه مشاهده می‌گردد که کمترین مقاومت و قابلیت اطمینان را دارد. همچنین سعی می‌شود تفاوت مفاهیم طراحی مقاوم و طراحی بهینه مقاوم به کمک نتایج تشریح شود.

واژه‌های کلیدی: طراحی بهینه چند موضوعی، سامانه پیشرانش دومولفه‌ای، عدم قطعیت، طراحی بهینه مقاوم

علامه و اختصارات	
Pc	فشار محفظه احتراق
Pe	فشار خروجی
P_tank	فشار مخزن سوخت
R_comb	شعاع محفظه احتراق
rho_str	چگالی سازه
R_pgt	شعاع مخزن گاز پرسشار
SQP	برتامه‌ریزی درجه دوم متوالی
T	تراست
t_B	زمان سوزش
Tc	دمای محفظه احتراق
T_Wall	دمای دیواره محفظه احتراق
Vtank	حجم مخازن
مقدمه	
	همه با هم
	الگوریتم زنتیک
	ضریب مخصوص
	طول محفظه احتراق
	جرم
	دبی سوخت
	جرم مخزن گاز پرسشار
	جرم نازل
	جرم سوخت
	جرم تراستر
	ضریب قابلیت اطمینان
	نسبت اکسیدایزر به سوخت

اکثر مسائلی که امروزه مهندسان با آن روبرو هستند، دارای هزینه زمانی، ابعاد زیاد و پاسخ‌های چند بعدی است. این مسائل اغلب

۱. استادیار (نویسنده مخاطب)

۲. استادیار

۳. دانشجوی کارشناسی ارشد

ضریب ویژه دقت بالاتری داشت ولی یکی از معایب این ابزار عدم محاسبه سایر مشخصات سیستمی سامانه پیشرانش بود [۷]. یکی از موارد تأثیرگذار در مأموریت ماهواره‌ها، نوع سیستم پیشرانش آنهاست. جرجن از آزمایشگاه پیشرانش جت ناسا در مقاله‌ای به مقایسه و بررسی فناوری‌های مورد استفاده در انواع سامانه‌های پیشرانش مورد استفاده در میکروماهواره‌ها پرداخت و با ارائه الگویی روند انتخاب سامانه پیشرانش را برای ماهواره‌ها بررسی کرد [۸]. در سال ۲۰۰۹ قابلیت اطمینان طراحی مفهومی یک موتور سوت خامد با استفاده از روش سطح پاسخ و مونت کارلو بهبود داده شد [۹]. ناصح و همکارش در مرجع [۱۰] به طراحی بهینه مخزن و سیستم پیشرانش با دو هدف کمینه نمودن نسبت وزن به ضریب اطمینان و مشخصات ابعادی پرداخت. در مرجع [۱۱] طائی و همکارانش به طراحی چند موضوعی سیستم پیشرانش دومولفه‌ای با رویکرد چند هدفی پرداخته و نتایج حاصل از چارچوب چند موضوعی تک سطحی را با چارچوب چند موضوعی دوستخطی مقایسه کردند. طراحی بهینه چندهدفی یک رانشگر کم پیشران با استفاده از الگوریتم ژنتیک در مرجع [۱۲] صورت پذیرفت. در مرجع [۱۳] مدل‌سازی انتقال حرارت سیستم پیشرانش دومولفه‌ای برای استفاده در طراحی بهینه‌سازی چند موضوعی بررسی شد. در همین راستا به دلیل افزایش پیچیدگی سیستم‌ها و تعداد پارامترهای غیر قطبی توجه به بهینه‌سازی طراحی چند موضوعی تحت عدم قطعیت توجه بیشتری به خود جلب نمود به طوری که در سال‌های ۲۰۰۰ تا ۲۰۱۸ مقالات متعددی در زمینه مسائل چند موضوعی مقاوم منتشر گردید [۱۴-۱۸].

بر این مبنای در این مقاله سعی شده است روند طراحی بهینه چند موضوعی سیستم پیشرانش دومولفه‌ای^۵ در حضور عدم قطعیت^۶ ارائه گردد که علاوه بر کمینه کردن جرم سیستم از مقاومت مطلوبی برخوردار باشد. بر این اساس طراحی بخش‌های مختلف سیستم پیشرانش دومولفه‌ای همچون محفظه احتراق و نازل، مخازن سوت و اکسیدکننده، مخازن تغذیه فشار و زیرسیستم پیشرانش دومولفه‌ای در دو روندnamی طراحی چند موضوعی سیستم پیشرانش دومولفه‌ای در دو حالت طراحی بهینه و طراحی بهینه مقاوم بیان می‌گردد. جهت بهینه‌سازی سیستم بعد از بیان مزایای روش بهینه‌سازی ترکیبی ژنتیک الگوریتم و برنامه‌ریزی درجه دوم متواالی از آن در الگوریتم طراحی استفاده می‌گردد. با اعمال عدم قطعیت‌ها، نتایج جرمی، عملکردی و هندسی سیستم پیشرانش به صورت طراحی بهینه، طراحی مقاوم و طراحی بهینه مقاوم به تفکیک بیان می‌گردد. در ادامه با مقایسه نتایج سعی می‌شود تفاوت مفاهیم روش‌های طراحی تشریح شود.

4. Bi-propellant Propulsion System

5. Uncertainty-Based Multidisciplinary Design Optimization

چندهدفی و چند موضوعی و دارای زیرسیستم‌های مختلف است. در این مسائل معمولاً هدف‌های مختلف باهم در رقابت و در بسیاری از موارد در تضاد می‌باشند. در چرخه عمر یک سیستم در جهان واقعی، ذاتاً وجود یک مقداری از عدم قطعیت ناشی از سیستم و همچنین شرایط محیطی و عملیاتی آن دخالت دارند. این عدم قطعیت‌ها ممکن است موجب تغییر و یا نوسان در عملکرد سیستم شود و یا حتی موجب انحراف شدید از عملکرد پیش‌بینی شده و در نتیجه شکست مأموریت با خطای غیرقابل پیش‌بینی گردد. به همین دلیل باید در مدل کردن موضوعات عدم قطعیت‌هایی برای مدل در نظر گرفت؛ بر این اساس امروزه تحقیقات و پژوهش‌های زیادی روی روش‌های طراحی بهینه چند موضوعی تحت عدم قطعیت صورت گرفته است. لازم به ذکر است در روش‌های سنتی طراحی، برای ساده کردن طراحی این مسائل، هر زیرسیستم جداگانه و با در نظر گرفتن الزامات سایر زیرسیستم‌ها طراحی می‌شود و عوامل عدم قطعیت تحت عنوان ضریب اطمینان وارد نتایج به دست آمده در طراحی سنتی می‌گردد. این در حالی است که غالباً در طراحی چنین سیستمی اهداف زیرسیستم‌های مختلف با یکدیگر در تقابل هستند؛ بنابراین لازم است عوامل عدم قطعیت‌ها در روند اصلی مسائل طراحی لحاظ شوند.

بر این اساس یکی از موضوعات مهم، بهینه‌سازی تحت عدم قطعیت است که در تئوری و کاربرد به سرعت توسعه پیدا کرد. اولین فرمول ریاضی در این زمینه مربوط به برنامه خطی تصادفی بود که در اواسط قرن گذشته برای پرداختن به مسائل بهینه‌سازی با پارامترهای تصادفی معرفی گردید [۱]. پس از آن، برای پاسخگویی به نیازهای بهینه‌سازی در جهان واقعی که معمولاً اعداد صحیح گسسته و طبیعت غیرخطی دارند موج وسیعی از روش‌های برنامه‌نویسی برای پرداختن به این مسائل ایجاد شد. به عنوان مثال می‌توان به برنامه‌نویسی تصادفی عدد صحیح در مرجع [۲، ۳]، برنامه‌نویسی تصادفی غیرخطی در مرجع [۴]، برنامه‌نویسی تصادفی مقاوم در مرجع [۵] اشاره کرد. در پژوهش‌های اخیر جهت حل مسائل بهینه‌سازی در شرایط عدم قطعیت از روش‌های گرادیان پایه مانند الگوریتم رابینز مونرو و الگوریتم‌های تصادفی مانند الگوریتم ژنتیک و الگوریتم آنلیل شبیه‌سازی و... استفاده می‌شود.

در سال‌های اخیر مطالعات متعددی در زمینه بهینه‌سازی سیستم‌های پیشرانش صورت گرفته است. در همین راستا در مرجع [۶] هرینگتون، تأثیر پارامترهای طراحی بر یکدیگر از جمله فشار محفظه احتراق، ضریب ویژه و وزن در طراحی سیستمی فضاییما و ماهواره‌بر را مورد بررسی قرار داد. در سال ۲۰۰۷، اریکسن در مقاله‌ای به معرفی نرم‌افزار محاسبه ضریب ویژه سیستم پرداخت. این نرم‌افزار ضریب ویژه سامانه را محاسبه می‌کرد که نسبت به محاسبه

عملکردی محصول کمترین حساسیت را به عوامل تغییرپذیر (فرآیند ساخت و محیط) داشته باشد و کمترین هزینه ساخت را تحمیل کند [۲۳]. مرجع [۲۴] طرحی که در آن متغیرها و پارامترهای طراحی قبلیت بیشترین ترانس در مرحله ساخت و مونتاژ را داشته باشند طراحی مقاوم می‌نماد؛ به عبارت دیگر در طراحی غیرحساس احتمال بیشتری برای رسیدن به مقدار هدف، با وجود خطاهای نامشخص وجود دارد. اگرچه تعريف مختلفی برای طراحی مقاوم استفاده می‌شود اما جنبه مشترک همه آن‌ها طراحی است که نسبت به تغییرات و خطاهای حساس نیست و این در تمام جوامع مهندسی قابل قبول است. روش‌های طراحی تحت عدم قطعیت عموماً به صورت فرمول‌های زیر تعریف می‌شوند.

$$\begin{array}{ll} \text{Find} & b \in R^n \\ \text{To minimize} & F(b, p, z) \\ \text{Subject to} & G_j(b, p, z) \leq 0, \quad j = 1, \dots \\ & b_L \leq b \leq b_U \end{array} \quad (1)$$

که در آن F تابع هدف و G قید طراحی می‌باشد. b متغیر طراحی و عوامل عدم قطعیت که شامل اختشاشات است با p و z خطاها با A نشان داده شده است. در طراحی مقاوم به طور کلی F میانگین و واریانس حالتی هستند که نویزها و اختشاشات به آن‌ها افروزده می‌شود. با توجه به این تعريف طراحی مقاوم یک مفهوم قطعی نیست بلکه مفهوم تصادفی است زیرا روش‌های قطعی نمی‌توانند شامل نویز باشند. نظریه‌های طراحی مقاوم با استفاده از نظریه رشته‌های دیگر توسعه داده شده است. بر اساس نظریه‌ها، روش طراحی مقاوم را می‌توان به سه دسته روش تاگوچی، بهینه‌سازی مقاوم و طراحی مقاوم با رویکرد بدینهی تقسیم کرد [۲۵].

در اوخر سال ۱۹۴۰ تاگوچی روشی را برای افزایش کیفیت محصولات توسعه داد. این روش که به عنوان تکنیک کیفیت‌سنجی ارائه می‌شود به روش تاگوچی یا طراحی مقاوم مطرح است [۲۶]. روش اصلی تاگوچی مانند معادلات (۱) نیست؛ و در آن قید وجود ندارد. اگرچه در این روش عامل اختشاشات (p) و عامل نویز (z) تعريف نشده است ولی می‌تواند با تعیین ویژگی‌های کنترلی طراحی مقاوم انجام داد. برای مثال سه تابع پاسخ f شامل توزیع A و B و C در شکل ۱ نشان داده شده است. μ_A و μ_B و μ_C میانگین توزیع A و B و C است. اگر طراح فقط به مقاوم بودن طرح تمرکز کند توزیع‌های B و C بهتر از A خواهد بود. فارق از آنکه مقدار کارایی سیستم می‌تواند صفر یا بی‌نهایت یا مقدار خاصی باشد. روش تاگوچی یک طراحی با حداقل تغییرات در کل مقدار تابع هدف را نشان می‌دهد. از نظر روش تاگوچی، طرح C بهتر از سه طرح دیگر است. با توجه به اینکه در روش تاگوچی عوامل نویز به صورت مستقیم در طراحی وارد نمی‌شود روش‌های مختلفی با استفاده از تعريف توابع روش تاگوچی را توسعه داده‌اند.

طراحی بهینه چند موضوعی

این روش طراحی برای طراحی هر سیستمی که با دو یا چند زیرسیستم (موضوع) در ارتباط باشد اعمال می‌شود. طراحی به این روش در حوزه‌های مختلفی مانند خودرو، کشتی، عمران و الکترونیک موفق بوده است [۱۹]؛ اما بیشتر موفقیت‌های آن در کاربردهای هوافضایی ثبت گردیده است [۲۰].

تعريف‌های مختلفی برای طراحی بهینه چند موضوعی وجود دارد برای مثال مرکز تحقیقات ناسا آن را طراحی بهینه سیستم‌های مهندسی پیچیده می‌داند که زیر سیستم‌های آن در تعامل متقابل نسبت به هم قرار دارند. از دیدگاه ریاضی، روش‌های طراحی بهینه چند موضوعی (MDO) را می‌توان به دو گروه تقسیم کرد؛ روش‌های یک سطحی و چند سطحی. در روش چند سطحی می‌بایست تجزیه مرتبه‌ای قبل از روش چند سطحی انجام شود. در حالی که روش یک سطحی به تجزیه مرتبه‌ای نیازی ندارد. در واقع در روش‌های تک سطحی، یک بهینه‌ساز در سطح سیستم وجود دارد [۲۱]. یکی از چارچوب‌های تک سطحی همه‌باهم^۶ (AAO) است که با نام روش تحلیل و طراحی همزمان نیز ارائه می‌شود. این چارچوب پایه‌ای ترین روش بهینه‌سازی طراحی چند موضوعی است که بهینه‌ساز در سطح سامانه قرار دارد. در این چارچوب هر سه دسته متغیرهای طراحی، حالت و کوپل در اختیار سطح سامانه است و کنترل تمام متغیرها موجب رسیدن به هدف کلی می‌شود در حالی که برخی از موضوعات دور از اهداف مطلوب خود هستند [۲۲].

در این مقاله از روش بهینه‌سازی طراحی چند موضوعی همه باهم برای بهینه و مقاوم نمودن سامانه پیشرانش دو مؤلفه‌ای استفاده شده است که نتایج آن در ادامه نشان داده می‌شود.

طراحی بهینه مقاوم

از زمانی که فضای مهندسی بسیار رقابتی گردید، نیاز به تولید محصولات با کیفیت در صنایع احساس شد. به همین منظور انحراف و تغییرات غیرمنتظره تابع یک طراحی باید در فرآیندهای مختلف مهندسی در نظر گرفته می‌شود. طراحی مقاوم^۷ روشی برای جلوگیری از چنین پدیده‌ای است. طراحی مقاوم ابتدا برای بهمود کیفیت محصول و قابلیت اطمینان آن در مهندسی صنایع توسعه داده شده است اما به سرعت در سایر زمینه‌های مختلف طراحی گسترش یافت. تاگوچی^۸ که پیشگام طراحی مقاوم است آن را این‌گونه تعریف می‌کند که مقاوم بودن حالتی است که در آن فن‌آوری، محصول و فرآیند

6. Multidisciplinary Design Optimization

7. All-At-Once

8. Robust Design

9. Taguchi

احتراق و نازل، مخازن سوخت و اکسیدکننده، مخازن تعذیه فشار و زیرسیستم خنک کاری تشکیل شده است (شکل ۳). جنس سازه محفظه احتراق از استیل و جنس مخزن سوخت از آلیاژآلومینیوم و جنس مخزن پرفشار از جنس تیتانیوم است.

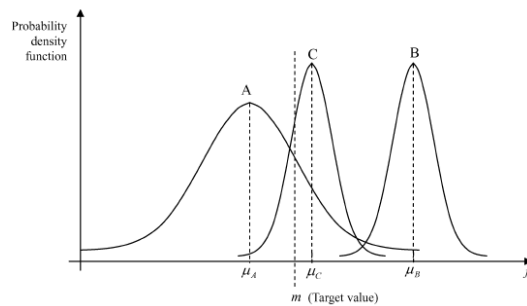
بر این اساس در این پژوهش یک رویکرد تک هدفی در طراحی بهینه مدنظر است. هدف یافتن سامانه پیشرانشی است که ضربه کل ۴۰۰۰۰ (چهارصدهزار) نیوتون ثانیه را با سوخت مایع منومتیل هیدرایزن^{۱۰} و اکسیدکننده دی‌نیتروژن تتراءکسید^{۱۱} و روش خنک کاری بازیابی^{۱۲} برای رسیدن به کمترین جرم مشخص نماید. صورت مسئله بهینه‌سازی در معادله ۲ بیان شده است.

$$\begin{aligned} \text{Minimize} & \quad \text{Total Mass} \\ \text{With Respect to} & \quad \{OF, P_c, Pe, R_{pgt}, Thrust\} \\ \text{Subject to} & \quad \text{Total Impulse} = 4000 KN.s \\ & \quad \text{Wall temperutuer} \leq 1000 K \end{aligned} \quad (2)$$

پارامترهای ثابت طراحی در جدول ۱ و بازه متغیرهای بهینه سازی که شامل فشار داخل محفظه، نسبت اکسیدکننده به سوخت، فشار خروجی، شعاع مخزن گاز پرفشار و تراست است، در جدول ۲ آورده شده است. در ادامه به مدل سازی این سامانه پیشرانش پرداخته شده است.

جدول ۱ - پارامترهای ثابت در نظر گرفته شده برای هردو روش طراحی

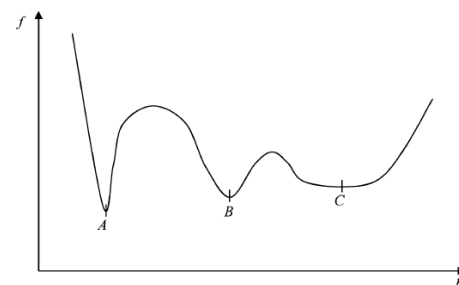
واحد	مقدار/جنس	پارامتر ثابت
-	تیتانیوم	جنس مخزن گاز پرفشار
-	آلومینیوم	جنس مخزن سوخت
-	استیل	جنس محفظه احتراق و نازل
-	هليوم	گاز مخزن پرفشار
بار	.۱۰	فشار محیط
رادیان	$\pi/4$	زاویه قسمت همگرای نازل
رادیان	$\pi/12$	زاویه قسمت واگرای نازل
کلوین	۲۹۸	دمای تانک (مخزن)
کلوین	۲۹۸	دمای تانک گاز پرفشار (فسارنده)
کیلوگرم بر مترمکعب	۸۷۴	چگالی سوخت (مونو متیل هیدرایزن)
کیلوگرم بر مترمکعب	۱۴۳۱	چگالی اکسیدکننده (نیتروژن تتراءکسید)
بار	.۰۵	افت فشار درون مسیر
-	۲	تعداد مخازن پرفشار
-	۱	تعداد مخازن سوخت
-	۱	تعداد مخازن اکسیدکننده



شکل ۱ - مثالی از توزیع توابع پاسخ

از آنجاکه روش تاگوچی با استفاده از متغیرها و آرایه‌های متعامد در فضای گسسته تعریف شده است، برای حل مسائل طراحی بزرگ بسیار پیچیده است. طراحی در فضای گسسته ممکن است دارای مزیت‌هایی باشد. با این حال، طراحی در یک فضای پیوسته با این حال اغلب مورد نیاز است.

به طور کلی، یک طرح ممکن است شامل تعداد زیادی قیود طراحی باشد که روش تاگوچی ممکن است قادر به حل آن نباشد. از آنجاکه در تکنیک‌های بهینه‌سازی به راحتی می‌توان قیود را در آن اعمال کرد روش بهینه‌سازی مقاوم بر مبنای تکنیک‌های بهینه‌سازی مناسب‌تر است [۲۷]. با کمک تکنیک‌های بهینه‌سازی می‌توان میانگین و انحراف معیار را به طور همزمان بهینه نمود. هدف از روش بهینه‌سازی مقاوم حل این مسائل است. طبق تعریف طراحی مقاوم، وقتی تابع مقاوم است که نسبت به تغییرات متغیرهای طراحی، تابع هدف آن تغییرات زیادی نکند. در شکل ۲ مقدار مینیمم تابع هدف نقطه A است که با تغییر اندک متغیرهای طراحی مقدار تابع هدف آن به شدت تغییر می‌کند؛ اما نقاط B و C نقاط مینیممی هستند که نسبت به تغییرات متغیرهای طراحی غیرحساس هستند.



شکل ۲ - مقاومت تابع هدف

تعریف مسئله

سامانه پیشرانش دو مولفه‌ای شامل زیرسامانه‌های مختلفی است که در طراحی بهینه آن متغیرها و پارامترهای زیادی دخیل می‌باشند. سامانه پیشرانش دو مولفه‌ای مورد نظر از چهار زیرسامانه محفظه

10. Monomethylhydrazine (CH_3NH_2)

11. Dinitrogen tetroxide (N_2O_4)

12. Regenerative Cooling

محفظه احتراق سیلندری شکل از مابقی اتاق‌های احتراق پروفیل یکنواخت و بهتری از دیدگاه شدت پاشش دارد که باعث افزایش ضریب سرعت مشخصه می‌شود. در فاز طراحی مفهومی انتخاب محفوظه سیلندری به عنوان متدالوئن ترین محفوظه احتراق گرینه مناسبی خواهد بود؛ زیرا روابط تجربی برای این نوع محفوظه موجود است و تحقیقات گسترهایی بر روی آن صورت پذیرفته است.

برای تعیین ابعاد محفوظه احتراق سه روش عمده زیر مورد استفاده قرار می‌گیرد.

۱- روش استفاده از زمان انتظار (زمان باقی ماندن پیشران در محفظه)

۲- روش استفاده از طول مشخصه (طول معادل)

۳- روش استفاده از فشار و روابط ترمودینامیکی

روش طول مشخصه برای محفوظه احتراق سیکل باز یا بسته توسعه خوبی یافته است. از آنجایی که در روابط این روش عموماً از مقادیر تجربی مربوط به موتورهای بزرگ استفاده شده است لذا دقت این روابط برای تراستهای کم تراست و غیر توربومپی دارای خطای زیادی است. بنابراین در این پژوهش از روش زمان انتظار ابعاد محفوظه تخمین زده می‌شود.

بر اساس روش زمان انتظار، با فرض یک زمان انتظار در محدود $1ms \leq t_{lag} \leq 5ms$ حجم مورد نیاز محفوظه از رابطه (۲) تخمین زده می‌شود.

$$V_{comb} = \frac{t_{lag}\dot{m}}{\rho_{comb}} \quad (2)$$

\dot{m} دمی جرمی تراست، t_{lag} زمان انتظار و ρ_{comb} چگالی محصولات احتراق است. با مشخص شدن حجم محفوظه احتراق و محاسبه سرعت تزریق انژکتور می‌توان طول و قطر محفوظه را از روابط زیر محاسبه کرد [۲۸].

$$L_{comb} = 1.2V_{inj}t_{lag} \quad (3)$$

$$V_{inj} = 1.11 \sqrt{\frac{\rho_c}{\rho_{prop(lq)}}} \quad (4)$$

$$R_{comb} = \sqrt{\frac{t_{lag}\dot{m}}{\pi L_{comb} \rho_{comb(gas)}}} \quad (5)$$

نازل وظیفه تبدیل انرژی جریان را به انرژی جنبشی بر عهده دارد. نازل‌هایی که در سیستم پیشرانش دوپایه مورد استفاده قرار می‌گیرند از نظر شکل ظاهری می‌توان به دو نوع نازل‌های زنگی

جدول ۲- بازه متغیرهای طراحی درنظرگرفته شده برای هر دو روش طراحی

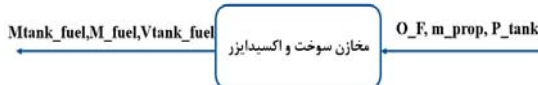
واحد	بازه	
بار	۱ تا ۲۰	فشار محفوظه احتراق
متر	۰.۰۵ تا ۰.۲	شعاع مخزن گاز پرفشار
بار	۰.۰۰۵ تا ۰.۲	فشار خروجی
نیوتن	۱ تا ۸۰۰۰	تراست
-	۵ تا ۷۵	نسبت اکسیدکننده به سوخت



شکل ۳- نمایی از بخش‌های مختلف سامانه پیشرانش دومؤلفه‌ای

زیرسامانه محفوظه احتراق

فرایند احتراق، یکی از مهم‌ترین الزامات در تعیین کارایی سیستم پیشرانش دو مؤلفه‌ای است. که در محفوظه احتراق انجام می‌پذیرد. این زیر سامانه از دو بخش محفوظه احتراق و نازل تشکیل می‌شود. در محفوظه احتراق پیشران مایع، تزریق، اتمیزه، بخار، مخلوط و سوزانده می‌شود. محفوظه‌های احتراق را از نظر هندسی می‌توان به صورت محفوظه احتراق سیلندری، محفوظه احتراق مخلوطی، محفوظه احتراق کروی و محفوظه احتراق بیضی شکل تقسیم کرد.



شکل ۵- ورودی و خروجی مدل زیرسیستم مخازن سوخت و اکسیدکننده

زیرسیستم مخازن تغذیه فشار

یکی از ساده‌ترین راههای فشار وارد نمودن بر پیشran برای تغذیه محفظه تراست، تحت فشار قراردادن آن توسط گاز پرفشار می‌باشد. این گاز در یک فشار کنترل شده به درون مخازن پیشran دمیده می‌شود.

در سامانه تغذیه فشار، وظیفه تامین فشار مناسب با استفاده از گازهای پرفشار و عموماً بی‌اثر مانند هلیوم و نیتروژن انجام می‌پذیرد. چنانچه فشار ثابت مورد نیاز باشد از رگولاتور استفاده می‌گردد. این زیرسیستم شامل اتصالات و قطعات جانبی بوده ولی بیشترین جرم، مربوط به مخزن و گاز پرفشار است. مخازن به صورت کروی است و به منظور مقاومت در برابر فشار داخلی جنس مخازن از تیتانیوم می‌باشد. جرم این زیر سامانه از روابط زیر محاسبه می‌شود [۲۸].

$$M_{pgt} = 2\pi R_{pgt}^3 n_{sf} P_{max} \rho_{tit} / \sigma_{tit} \quad (8)$$

$$M_{gas} = (V_{tank} + V_{pgt}) P_{tank} / (RT_{tank}) \quad (9)$$

$$M_{feeding} = M_{pgt} + M_{gas} \quad (10)$$

در رابطه بالا R_{pgt} شعاع مخزن، P فشار، V حجم مخزن، T دما و $M_{feeding}$ جرم زیرسیستم است. در شکل ۶ ورودی و خروجی این زیرسیستم نشان داده شده است.



شکل ۶- ورودی و خروجی مدل زیرسیستم مخازن گاز پرفشار

زیرسیستم خنک کاری

در موتورهای سوخت مایع بطور کلی دو روش خنک کاری استفاده می‌شود. اولین روش، روش حالت پایا است. این روش شامل خنک‌کاری با سیکل بازیابی و خنک کاری تشبعی^{۱۳} می‌باشد. خنک کاری با سیکل بازیابی بوسیله ساختن یک جریان خنک کننده در اطراف محفظه تراست و عبور پیشran مایع (بیشتر سوخت) درون آن قبل از تزریق درون انژکتور انجام می‌شود. این تکنولوژی خنک کاری اصولاً در محفظه های با تراست متوسط به بالا استفاده می‌شود، و در

شکل و نازل های مخروطی تقسیم بندی کرد. در اغلب موتورهای سوخت مایع از نازل مخروطی استفاده می‌شود. این نوع نازل از دو مخروط به هم چسبیده تشکیل شده است. مزیت اصلی این نازل در این است که ساخت آن آسان می‌باشد و تغییر در آن و کم و زیاد کردن نسبت مساحت در آن به سادگی امکان پذیر است و نیاز به طراحی مجدد ندارد. نیم زاویه قسمت همگرای نازل بین ۲۵ تا ۴۵ درجه می‌تواند تغییر کند و نیم زاویه قسمت واگرای نازل نیز می‌تواند بین ۱۲ تا ۱۸ درجه باشد که میزان ۱۵ درجه برای این نوع نازل ها یک میزان مناسب و استاندارد می‌باشد [۲۸]. در شکل ۴ ورودی و خروجی این زیرسیستم نشان داد شده است.



شکل ۴- ورودی و خروجی مدل زیرسیستم محفظه احتراق

زیرسامانه مخزن سوخت

پیشran در یک یا چند مخزن اکسیدکننده و یک یا چند مخزن سوخت نگهداری می‌شود. مخازن به طرق مختلف چیده می‌شوند و طراحی مخازن برای کنترل بهتر پایداری وسیله در محدوده مرکز تقلیل موشک صورت می‌پذیرد. مخازن پیشran همراه با صفحات ضد گردابه و ضد تلاطم بوده و در هر مخزن نشانگرهای وجود دارد که میزان باقیمانده پیشran را در آن و یا نشت در هر مخزن را مشخص می‌سازد. مخازن سوخت و اکسیدکننده به صورت کروی و یا استوانه‌ای ساخته می‌شوند [۲۸]. مخازن استوانه‌ای قطر کمتر و فرآیند ساخت راحت‌تری دارند اما در مقایسه با نوع کروی وزن بالاتری خواهند داشت. جنس این زیرسامانه به منظور کاهش جرم از آلومینیم و یا تیتانیوم می‌باشد. لازم به ذکر است که این مخازن نسبت به قطر و حجم محدودیت دارند و اغلب متناسب با بدنه موشک ساخته می‌شوند و استوانه‌ای شکل با انتهای محدب هستند. بنابراین در صورتی که قطر مخازن کروی بالاتر از حد مجاز باشد از نوع استوانه‌ای استفاده می‌شود.

با داشتن مقدار حجم هر یک از این مخازن که از حجم سوخت و اکسیدکننده حاصل می‌شود و با توجه به محدودیت قطر در نظر گرفته شده، می‌توان طول و قطر آن را محاسبه نمود. در شکل ۵ ورودی و خروجی های لازم برای طراحی این زیرسیستم مشاهده می‌شود [۲۷].

$$L = \frac{4V}{\pi D^2} \quad (6)$$

$$L = D = 2 \sqrt[3]{\frac{3V}{4\pi}} \quad (7)$$

ضرایب فیلم در معادلات داده شده کار دشواری است چراکه، هندسه‌ی پیچیده پروفیل سرعت غیریکنواخت، زبری سطح، رفتار لایه مرزی و فرآیند احتراق در آن موثر هستند. تئوری انتقال حرارت مرسوم معمولاً در تعدادی ترم بدون بعد داده می‌شود.

$$\frac{h_g D}{k} = 0.026 \left(\frac{D \vartheta \rho}{\mu} \right)^{0.8} \left(\frac{\mu c_p}{k} \right)^{0.4} \quad (13)$$

ضریب فیلم گاز، D قطر محفظه و نازل، ϑ متوسط سرعت گاز، h_g موضعی محاسبه شده، k ضریب رسانش گاز، μ لزجت مطلق گاز، c_p گرمای ویژه گاز در فشار ثابت و ρ گالی گاز می‌باشد. در معادله بالا کمیت $\frac{h_g D}{k}$ به عنوان عدد نوسلت، و مقدار $\frac{D \vartheta \rho}{\mu}$ به عنوان عدد رینولدز و $\frac{\mu c_p}{k}$ به عنوان عدد پرانتل معروف هستند. ضریب فیلم گازی از معادله زیر قبل تعیین است.

$$h_g = \frac{0.026 \left(\frac{\vartheta \rho}{D} \right)^{0.8} P r^{0.4} k}{\mu^{0.8}} \quad (14)$$

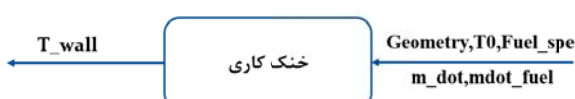
که $\vartheta \rho$ سرعت جرمی موضعی و ثابت 0.026 بدون بعد می‌باشد [۳۰].

۱- روابط خنک کاری تشعشعی

تشعشع الکترومغناطیسی منتشر شده توسط یک گاز، مایع، یا جسم جامد به دلیل سطح بالای انرژی و دمای آن رخ می‌دهد و طول موج‌های از ۰۰۰۰۱ میکرومتر تا ۱۰۰۰۰ میکرومتر را پوشش می‌دهد که شامل محدوده‌ی طول موج‌های مرئی از ۰/۷۸ تا ۰/۳۹ میکرومتر نیز می‌شود. انتقال حرارت تشعشعی در خلا، به دلیل اینکه هیچ‌گونه جذبی توسط سیال‌های دیگر انجام نمی‌شود به طور مؤثری صورت می‌پذیرد. حرارت انتقال یافته توسط مکانیسم تشعشع وابسته به دمای حجم تشعشع کنده و مشخصات سطح آن است. انرژی تشعشعی E تابع توان چهارم دمای مطلق T است.

$$E = f \varepsilon \sigma A T^4 \quad (15)$$

انرژی تشعشع شده به عنوان تابعی از ضریب بدون بعد برای مشخصات سطح و مواد، ثابت استقان-بولترمن σ (* $\frac{W}{m^2 \cdot K^4}$)، مساحت سطح A ، دمای مطلق T ، و ضریب شکل f که وابسته به چیدمان قطعات و شکل آنها می‌باشد، تعريف می‌شود [۳۰]. در شکل ۷ ورودی و خروجی زیرسیستم خنک کاری نشان داده شده است.



شکل ۷- ورودی و خروجی مدل زیرسیستم خنک کاری

کاربردهای با فشار محفظه بالا و نرخ انتقال حرارت بالا موثر بوده است. همچنین بیشتر انژکتورها از خنک کاری سیکل بازیابی استفاده می‌کنند. در خنک کاری تشعشعی، دیواره محفظه و یا نازل از مواد دما بالا ساخته می‌شوند. زمانی که به تعادل گرمایی می‌رسند، دیواره حرارت را به محیط اطراف یا فضا متشعشع می‌کند. خنک کاری تشعشعی بیشتر برای بخش‌های واگرای خروجی نازل در نسبت مساحت‌های بالا استفاده می‌شود. تراسترهای کوچک نیز بطور تشعشعی خنک می‌شوند. در این پروژه از روش خنک کاری بازیابی و خنک کاری تشعشعی جهت کاهش دمای محفظه احتراق و نازل استفاده شده است [۳۹].

خنک کاری بازیابی

رابطه‌ی کلی زیر برای انتقال حرارت رسانشی به کار می‌رود.

$$\frac{Q}{A} = -k \frac{dT}{dL} = -k \frac{\Delta T}{L} \quad (11)$$

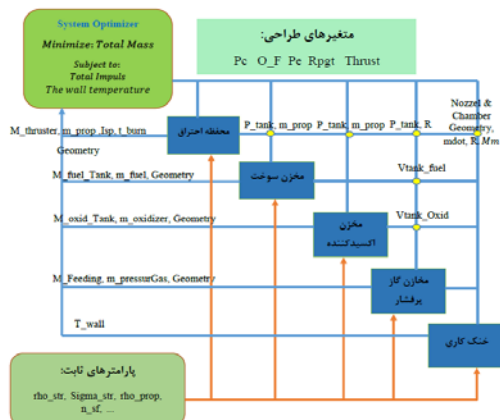
که Q حرارات انتقال یافته، A مساحت، $\frac{dT}{dL}$ گرادیان دما با توجه به خاصیت L در سطح A و k ضریب رسانش حرارتی می‌باشد. معادلات کلی انتقال حرارت دائم برای محفظه‌های تراست خنک شونده به وسیله‌ی روش بازیابی به صورت زیر نشان داده می‌شوند.

$$\begin{aligned} q &= h(T_g - T_l) = Q/A \\ &= \frac{T_g - T_l}{\left(\frac{1}{h_g}\right) + \left(\frac{t_w}{k}\right) + \left(\frac{1}{h_l}\right)} \\ &= \frac{k}{t_w}(T_{wg} - T_{wl}) \\ &= h_l(T_{wl} - T_l) \end{aligned} \quad (12)$$

که q حرارت انتقال یافته بر واحد سطح در واحد زمان، T_g دمای گاز داخل محفظه، T_l دمای مایع خنک کننده، T_{wl} دمای دیواره در طرف مایع، T_{wg} دمای دیواره در طرف گازی، h ضریب فیلم کلی، h_g ضریب فیلم گازی، h_l ضریب فیلم مایع خنک کننده، t_w خاصیت دیواره محفظه، و k رسانش حرارتی مواد دیواره می‌باشد. این روابط ساده فرض می‌کنند که جریان حرارت شعاعی بوده و تئوری شبیه یک بعدی ساده معمولاً فرض می‌کند که رسانش حرارتی و ضرائب فیلم در مقادیر متوسط خود هستند و تابعی از دما و فشار نمی‌باشند.

مقادیر مهم در کنترل نمودن انتقال حرارت در عرض دیواره یک محفظه‌ی احتراق، لایه‌های مرزی تولید شده در فیلم سیال توسط محصولات احتراق در طرف گازی و جریان مبرد در طرف دیگر می‌باشند. به طور اعظم ضریب فیلم گاز مقدار نرخ انتقال حرارت و فیلم مایع مقدار دمای دیواره را تعیین می‌کنند. تعیین

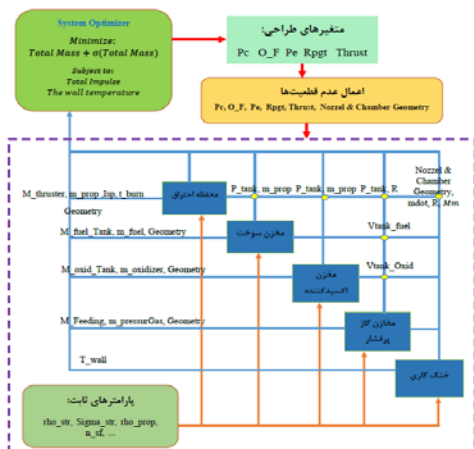
پاسخ نهایی استفاده می‌کند. تعداد کافی از نمونه‌ها، در روش MCS می‌تواند نتایج تجزیه و تحلیل را به سطح دلخواه دقت برساند. به همین دلیل در طراحی مقاوم صورت گرفته در قالب چند موضوعی همه باهم روی متغیرها و برخی از خروجی‌های مسئله ۱۰۰۰ عدد رندمی با توزیع نرمال و بازه تولورانس مربوط به خودشان اعمال می‌گردد. مقدار بازه‌های اعمال عدم قطعیت ناشی از خطاهای اندازه‌گیری و خطاهای انسانی و تاثیر عوامل محیطی انتخاب شده‌اند که در جدول ۳ آورده شده است.



شکل ۸- قالب روش چند موضوعی همه باهم

جدول ۳- عدم قطعیت‌های اعمال شده در طراحی

واحد	بازه	عدم قطعیت‌های اعمالی
بار	۰/۰۱	فشار محفظه احتراق
بار	۰/۰۰۱	فشار خروجی
-	۰/۰۰۱	نسبت اکسید کننده به سوخت
نیوتون	۲	تراست
متر	۰/۰۰۱	شعاع مخزن پرفشار
متر	۰/۰۰۱	شعاع گلوبه نازل
متر	۰/۰۰۱	شعاع خروجی نازل
متر	۰/۰۰۱	طول محفظه احتراق
متر	۰/۰۰۱	شعاع محفظه احتراق



شکل ۹- قالب روش چند موضوعی همه باهم تحت عدم قطعیت

روندنامای طراحی بهینه در قالب روش چند موضوعی همه باهم

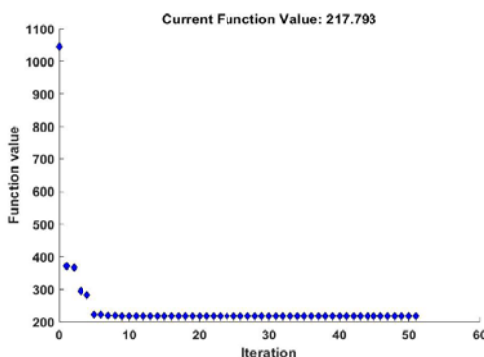
در بهینه سازی چند موضوعی تحت چارچوب همه باهم (AAO)، یک بهینه ساز در سطح سامانه وجود دارد. در این روش کوپل بین موضوعات از بین می‌رود و تمام ورودی و خروجی‌های موضوعات مختلف، به عنوان متغیر در بهینه ساز سطح سیستم قرار می‌گیرند. بر مبنای این روش، سطح سامانه با در اختیار گرفتن متغیرهای طراحی اعم از متغیر داخلی، حالت و کوپل، مسئله بهینه سازی را برای بهینه نمودنتابع هدف کلی سامانه مدیریت می‌کند. در این روش، بردار متغیرهای طراحی وارد شده و در پایان ارزیابی، مقدار آن به شرطی مناسب می‌شود که تمامی موضوعات، تمامی قیود را ارضاء کنند. در غیر این صورت، متغیرهای طراحی تعییر یافته و زیرسیستم‌ها مجدداً درصد ارزیابی تابع هدف برخواهند آمد.

به همین دلیل بهینه ساز سطح سامانه با توجه به متغیرهایی که در اختیار دارد، بی‌آنکه دید زیرسامانه‌ای در مسئله داشته باشد، مقدار خروجی سامانه را بهینه و امکان سنجی می‌نماید. در این روش با اینکه تعداد فراخوانی تابع هدف کمتر است، ولی همگرایی بسته به فضای مسئله و تعداد متغیرها و قیود زیاد منجر به همگرایی کند خواهد بود. ماتریس طراحی سامانه پیشراش دومولفه‌ای در قالب AAO در شکل ۸ نشان داده شده است.

روندنامای طراحی بهینه مقاوم در قالب روش چند موضوعی همه باهم

در طراحی مقاوم و طراحی مبتنی بر قابلیت اطمینان می‌باشد عدم قطعیت‌ها و نامعینی‌های موجود در طراحی اعمال شود. در طراحی بهینه مقاوم هدف طراحی سیستم پیشراشی با کمترین جرم است در حالی که نسبت به تعییرات میزان انحراف معیار جرمی آن حداقل گردد و لی در طراحی بهینه مبتنی بر قابلیت اطمینان هدف طراحی سیستم پیشراشی است که کمترین جرم را داشته و کمترین احتمال برای عدم ارضاء قید ایجاد گردد. به همین دلیل لازم است این عدم قطعیت‌ها توسط سیستم بهینه ساز در حین مراحل بهینه سازی وارد مسئله گردد. به گونه‌ای که سطح سیستم با وجود این عوامل نامعین نقطه بهینه‌ای بر اساس تابع هدف انتخاب نماید. در شکل ۹ نحوه اعمال عدم قطعیت‌ها در روش طراحی بهینه مقاوم که بر روی متغیرها و پارامترها اعمال گردیده نشان داده شده است.

به منظور اعمال عدم قطعیت‌ها در این پژوهش از روش شبیه‌سازی مونت کارلو^{۱۴} (MCS) به عنوان روش مبتنی بر نمونه‌برداری استفاده گردیده است. که در آن نمونه‌برداری و شبیه‌سازی‌های مکرر انجام می‌شود و از مقادیر پاسخ‌های هر تکرار جهت محاسبه آماری



شکل ۱۱- روند بهینه‌سازی SQP در روش طراحی بهینه

نتایج بهینه‌سازی روش طراحی چند موضوعی AAO در جدول ۵ نشان داده شده است.

جدول ۵- نتایج طراحی بهینه سیستم پیشرانش دومولفه‌ای

واحد	مقدار	عنوان
کیلوگرم	۲۱۷.۷۹	جرم کل
کیلوگرم	۱۳۹.۵۸	جرم پیشران
کیلوگرم	۷۸.۰۳	جرم سازه
درجه کلوین	۱۰۰۰	دمای دیواره محفظه احتراق
نیوتون ثانیه	۴۰۰۰۰	ضربه کل
ثانیه	۲۹۲.۲۳	ضربه مخصوص
ثانیه	۱۱.۸۷	زمان سوزش
نیوتون	۳۳۶۵۰	میزان تراست
بار	۸.۸۳۹	فشار محفظه احتراق
بار	۰.۰۵۶	فشار خروجی
-	۰.۷۵	نسبت اکسیدکننده به سوخت
کیلوگرم بر ثانیه	۱۱.۷۴۲	دبی سوخت
کیلوگرم	۷۹.۷۵۹	جرم سوخت
کیلوگرم	۵۹.۸۱۹	جرم اکسیدکننده
کیلوگرم	۳۲.۶۴۳	جرم تراستر
کیلوگرم	۱۳.۲۸۵	جرم مخزن سوخت
کیلوگرم	۳.۹۴۴	جرم مخزن اکسیدکننده
کیلوگرم	۶.۸۸۶	جرم مخزن پرفشار اکسیدکننده
کیلوگرم	۳.۲۶۴	جرم مخزن پرفشار سوخت
کیلوگرم	۱۸.۰۰۸	سایر جرمهای
متر	۰.۰۵	شعاع مخزن پرفشار
متر	۰.۱۱۶	شعاع محفظه احتراق

روش بهینه‌سازی

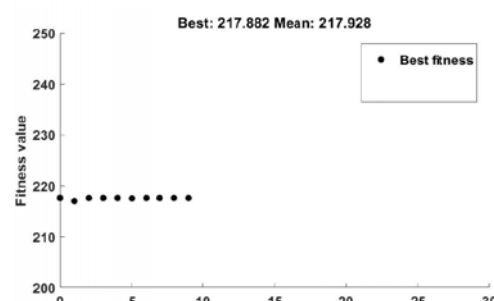
روش بهینه‌سازی ژنتیک الگوریتم^{۱۵} (GA) و برنامه‌ریزی درجه دوم متوالی^{۱۶} (SQP) که جزء روش‌های بهینه سازی ترکیبی می‌باشد می‌تواند نقطه بهینه را در زمان بسیار کوتاه‌تر با دقت قابل قبول پیدا کند. از آنجا که روش بهینه‌سازی ژنتیک الگوریتم با توجه به ماهیت هیورستیک و تکاملی بودن قادر است جستجوی جامع و یک پارچه‌ای را بر فضای جواب‌های مسئله داشته باشد، بنابراین با رسیدن به اولین مقادیر بهینه‌های محلی الگوریتم متوقف نخواهد شد؛ از طرف دیگر روش SQP یک روش گرادیان پایه است و موجب می‌شود سرعت همگرایی بالا باشد؛ اما عدم توانایی در تشخیص اکسترمم کلی و محلی عیوب این روش است. در حقیقت روش GA خاصیت جستجوی جامع در فضای طراحی^{۱۷} و روش SQP خاصیت تداوم جستجو تا رسیدن به بهترین جواب^{۱۸} را دارد که با ترکیب این دو الگوریتم نوacus همیگر را خنثی و راندمان رسیدن به جواب را بالا می‌برد. به منظور شرایط برابر حین اجرای بهینه سازی پارامترهای الگوریتم ژنتیک ثابت در نظر گرفته شده است که در جدول ۴ آورده شده است.

جدول ۴- پارامترهای الگوریتم ژنتیک

پارامتر	مقدار
تعداد جمعیت	۱۰۰
حداکثر نسل	۱۵۰
ضریب تلفیق (Cross-over)	۰/۷
ضریب چesh (Mutation)	۰/۰۵
حد تکرار نسل	۴۰

نتایج طراحی بهینه در قالب AAO

هدف از بهینه سازی رسیدن به کمترین جرم کل برای ضربه کل ۴۰۰۰۰ نیوتون ثانیه است. بر این اساس در طراحی بهینه تابع هدف صرفا کاهش جرم سیستم است. همان‌گونه که گفته شد از الگوریتم GA و SQP جهت بهینه‌سازی استفاده شده است. در نمودارهای ۱۰ و ۱۱ روند بهینگی توسط این دو الگوریتم نشان داده شده است.



شکل ۱۰- روند بهینه‌سازی GA در روش طراحی بهینه

- 15. Genetic Algorithm
- 16. Sequential Quadratic Programming
- 17. Exploration
- 18. Exploitation

واحد	مقدار	عنوان
کیلوگرم	۷۸.۱۶۷	جرم سوخت
کیلوگرم	۶۰.۸۳۱	جرم اکسیدکننده
کیلوگرم	۳۳.۵۳۹	جرم تراستر
کیلوگرم	۱۳.۱۰۴	جرم مخزن سوخت
کیلوگرم	۳.۹۸۹	جرم مخزن اکسیدکننده
کیلوگرم	۷.۷۵۰	جرم مخزن پروفشار اکسیدکننده
کیلوگرم	۱۱.۵۱۶	جرم مخزن پروفشار سوخت
کیلوگرم	۲۰.۶۵۳	سایر جرم‌ها
متر	۰.۱۷۱	شعاع مخزن پروفشار
متر	۰.۱۳۲	شعاع محفظه احتراق
متر	۰.۲۸۳	طول محفظه احتراق
متر	۰.۱۲۵	شعاع خروجی نازل
متر	۰.۰۳۳	شعاع گلوگاه
-	۱۴.۷۰۱	نسبت سطح خروجی به گلوگاه
متر مکعب	۰.۱۱۸	حجم مخزن سوخت
متر مکعب	۰.۰۵۶	حجم مخزن اکسیدکننده

واحد	مقدار	عنوان
متر	۰.۲۴۱	طول محفظه احتراق
متر	۰.۱۰۴	شعاع خروجی نازل
متر	۰.۰۲۷	شعاع گلوگاه
-	۱۴.۸۴۹	نسبت سطح خروجی به گلوگاه
مترمکعب	۰.۱۲۱	حجم مخزن سوخت
مترمکعب	۰.۰۵۵	حجم مخزن اکسیدکننده

نتایج طراحی مقاوم

به طرحی مقاوم گفته می‌شود که در محیط عملیاتی اش قادر به مقابله با تغییرات (گاهای غیرقابل پیش‌بینی) با حداقل آسیب، تغییر و یا از دست دادن قابلیت خود باشد. یعنی با تغییر کوچک در پارامترها مدل و فرضیات تحت تأثیر قرار نگیرد.

بر این اساس به ازای هر جمعیت از الگوریتم ژنتیک در خروجی به تعداد تکرارها مجموعه‌ای از خروجی مسئله یا همان تابع هدف حاصل می‌شود. در طراحی مقاوم هدف کمینه نمودن انحراف معیار جرمی است یعنی اینکه که به ازای عدم قطعیت‌های اعمال شده در تمام نقاط ممکن طراحی کمترین تغییرات را داشته باشد. به عبارت ساده‌تر در روش طراحی مقاوم به دنبال پاسخی از مسئله هستیم که بعد از اعمال عدم قطعیت به روش مونت کارلو و تبدیل شدن به ماتریسی از جواب‌ها آن نقطه کمترین انحراف معیار یا تغییرات را داشته باشد. نتایج حاصل از طراحی مقاوم در جدول ۶ ارائه شده‌است.

جدول ۶- نتایج طراحی مقاوم سیستم پیش‌رانش دوم‌مؤلفه‌ای

واحد	مقدار	عنوان
کیلوگرم	۲۲۹.۵۵	جرم کل
کیلوگرم	۱۳۹	جرم پیش‌ران
کیلوگرم	۹۰.۵۵۱	جرم سازه
درجه کلوین	۹۹۷.۵۴	دمای دیواره محفظه احتراق
نیوتون ثانیه	۴۰۰۰۰.۶۰۸۵	ضربه کل
ثانیه	۲۹۳.۴۵	ضربه مخصوص
ثانیه	۷.۸۳۴۷	زمان سوزش
نیوتون	۵۱۰۵۵	میزان تراست
بار	۱۲.۱۷۷	فسار محفظه احتراق
بار	۰.۰۷۹	فسار خروجی
-	۰.۷۷۸۲	نسبت اکسیدکننده به سوخت
کیلوگرم بر ثانیه	۱۷.۷۴۱	دبی سوخت

نتایج طراحی بهینه مقاوم

در طراحی بهینه مقاوم هدف طراحی سیستم پیش‌رانشی با کمترین جرم است در حالی که نسبت به تغییرات میزان انحراف معیار آن حداقل گردد. با کمک تکنیک‌های بهینه‌سازی می‌توان میانگین و انحراف معیار را به طور همزمان بهینه نمود. بنابراین در این مسئله بعد از اعمال عدم قطعیت‌ها به روش مونت کارلو و تبدیل شدن به ماتریسی از جواب‌ها به دنبال کمینه نمودن میانگین و واریانس تابع هدف هستیم. نتایج حاصل از طراحی بهینه مقاوم در قالب چند موضوعی سیستم پیش‌رانش دوم‌مؤلفه‌ای در جدول ۷ ارائه شده‌است.

جدول ۷- نتایج طراحی بهینه مقاوم سیستم پیش‌رانش دوم‌مؤلفه‌ای

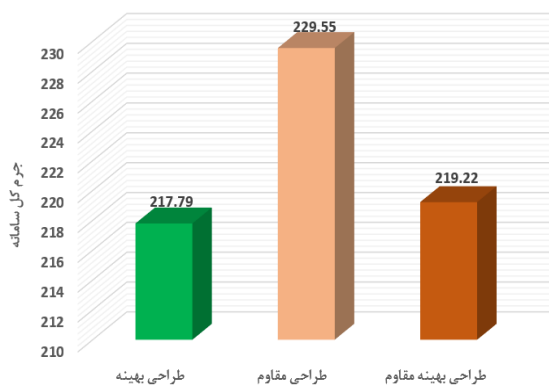
واحد	مقدار	عنوان
کیلوگرم	۲۱۹.۲۲	جرم کل
کیلوگرم	۱۴۰.۱۴	جرم پیش‌ران
کیلوگرم	۷۸.۹۹۸	جرم سازه
درجه کلوین	۹۹۸۶۲	دمای دیواره محفظه احتراق
نیوتون ثانیه	۳۹۹۹۷۸.۴۹۵	ضربه کل
ثانیه	۲۹۱.۰۶	ضربه مخصوص
ثانیه	۹.۸۰۷	زمان سوزش

با توجه به نتایج حاصل از طراحی مشاهده می‌گردد که روش طراحی بهینه که تابع هدف آن صرفاً کاهش جرم بود به کمترین جرم کل یعنی ۲۱۷.۷۹ کیلوگرم دست یافته است. اما با توجه به میزان انحراف معیار جرمی در صورت مغشوش کردن متغیرهای ذکر شده بیشترین تغییرات را به خود می‌بیند. در واقع این نقطه در برابر عدم قطعیت‌های اعمالی مقاومت کمی دارد.

از آنجا که در تابع هدف روش طراحی بهینه مقاوم جرم کل سیستم دخیل می‌گردد جرم سیستم حاصل از این روش نسبت به روش طراحی مقاوم جرم کمتری دارد. مقایسه جرم کل سیستم در شکل ۱۲ نشان داده شده است.

با توجه به مفهوم مقاوم بودن نقطه‌ای که در حضور عدم قطعیت‌ها کمترین تغییرات را داشته باشد از مقاومت بالاتری برخوردار است. در طراحی مقاوم که تابع هدف مسئله کمینه نمودن میزان تغییرات جرمی است به نقطه‌ای با مقاومت بالا دست می‌یابیم. بر این اساس در شکل ۱۳ تأثیر میزان انحراف معیار جرمی حاصل از اعمال عدم قطعیت‌ها بر روی جرم کل به دست آمده از هر روش مقایسه شده است. میزان انحراف معیار امکان افزایش یا کاهش جرم سیستم را در حضور نامعینی‌ها نشان می‌دهد. روش طراحی بهینه با انحراف معیار جرمی ۲۵۶۲ کیلوگرم دارای کمترین مقاومت و روش طراحی مقاوم با احتمال تغییرات جرمی ۲.۷۸۵ بیشترین مقاومت را با اعمال عدم قطعیت‌ها دارد.

در هر روش تنها قابلیت اطمینان جواب نهایی بررسی شده است. قابلیت اطمینان ذکر شده در فرایند بهینه سازی و تابع هدف دخالتی نداشته است. در حقیقت در روند طراحی قابلیت اطمینان مد نظر نبوده است و فقط صرفاً در پایان طراحی احتمال نقص قید حساب شده است. در نمودارهای ۱۴، ۱۵ و ۱۶ اثر عدم قطعیت‌ها روی قید بررسی شده است. از مقایسه نمودن نمودارها مشخص است در روش طراحی بهینه دفعات بیشتری قید نقض می‌شود یعنی دما از ۱۰۰۰ درجه بیشتر می‌شود.



شکل ۱۲- مقایسه جرم کل حاصل از روش‌های طراحی

عنوان	مقدار	واحد
میزان تراست	۴۰۷۸۵	نیوتون
فضار محفظه احتراق	۱۱.۱۷	بار
فضار خروجی	۰.۰۷۶	بار
نسبت اکسیدکننده به سوخت	۰.۷۵۰۲	-
دی سوخت	۱۴.۲۸۹	کیلوگرم بر ثانیه
جرم سوخت	۸۰۰.۶۷	کیلوگرم
جرم اکسیدکننده	۶۰۰.۷۱	کیلوگرم
جرم تراستر	۲۹.۸۲۵	کیلوگرم
جرم مخزن سوخت	۱۳.۳۲	کیلوگرم
جرم مخزن اکسیدکننده	۳.۹۵۶	کیلوگرم
جرم مخزن پرفشار اکسیدکننده	۴.۱۲۰	کیلوگرم
جرم مخزن پرفشار سوخت	۸.۸۳۶	کیلوگرم
سایر جرم‌ها	۱۸.۹۴۱	کیلوگرم
شعاع مخزن پرفشار	۰.۰۶۷	متر
شعاع محفظه احتراق	۰.۱۲۱	متر
طول محفظه احتراق	۰.۲۷۱	متر
شعاع خروجی نازل	۰.۱۰۹	متر
شعاع گلوگاه	۰.۰۲۹	متر
نسبت سطح خروجی به گلوگاه	۱۴۰.۹۸	-
حجم مخزن سوخت	۰.۱۲۱	مترمکعب
حجم مخزن اکسیدکننده	۰.۰۵۵	مترمکعب

مقایسه نتایج طراحی

همانگونه که در متن اشاره شد در طراحی تحت عدم قطعیت در فرایند بهینه‌سازی چندین پارامتر و متغیر طراحی مغشوش می‌شوند. بر این اساس به ازای تعداد تکرار عدم قطعیت‌های اعمال شده تابع هدف مسئله به صورت ماتریسی هم مرتبه تعداد تکرارها ایجاد می‌گردد. میانگین و انحراف معیار ماتریس نتایج، در بررسی مقاومت استفاده می‌گردد. در جدول ۸ مقدار بهینه جرم سیستم پیشرانش، انحراف معیار جرمی و همچنین قابلیت اطمینان نشان داده شده است.

جدول ۸- مقایسه نتایج روش‌های طراحی

طراحی بهینه مقاوم	طراحی مقاوم	طراحی بهینه	
۲۱۹.۲۲	۲۲۹.۵۵	۲۱۷.۷۹	میانگین جرمی
۳.۷۳۱	۲.۷۸۵	۲۵۶۲	انحراف معیار جرمی
۹۲.۲۳۳	۹۸۶۲۱	۵۰.۵۳	قابلیت اطمینان

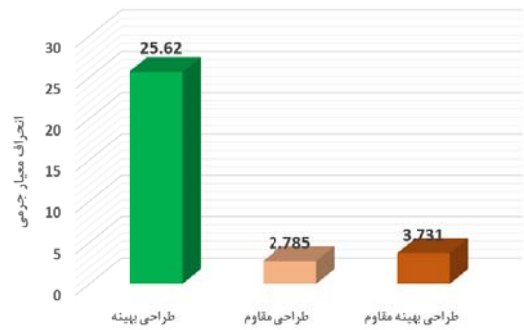
جمع‌بندی

نتایج هر کدام از روش‌ها با یکدیگر از جنبه‌های مختلف مورد بررسی قرار گرفت که در ادامه به چند مورد اشاره می‌شود:

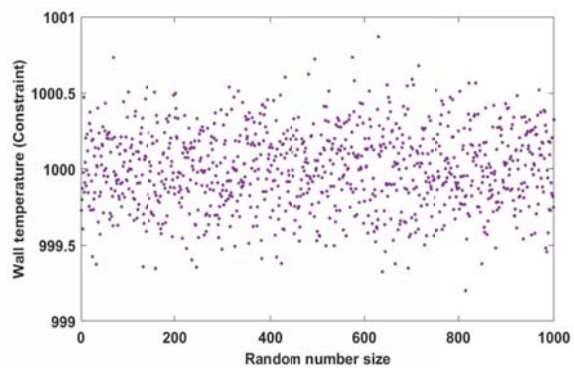
- با توجه به نتایج نشان داده شد که نقطه صرفاً بهینه در صورت اعمال عدم قطعیت‌ها از مقاومت و قابلیت اطمینان مطلوبی برخوردار نیست؛ به گونه‌ای که انحراف معیار جرمی آن ۱۱.۵ درصد جرم کل گردید. در حالی که در روش طراحی بهینه مقاوم انحراف معیار جرمی جواب مسئله حدود ۱۰.۲ درصد جرم کل شد.
- کمترین جرم در حالت طراحی بهینه با مقدار ۲۱۷.۷۹ کیلوگرم و بیشترین جرم با مقدار ۲۲۹.۵۵ کیلوگرم در حالت طراحی مقاوم اتفاق افتاد.
- نتایج طراحی مقاوم نشان می‌دهد که نقطه انتخابی نسبت به اعمال عدم قطعیت‌ها کمترین تغییرات را برای جرم کل به دنبال دارد. ولی چون بهینه ساز به دنبال کاهش جرم سامانه نیست لذا جرم بالاتری نسبت به روش طراحی بهینه مقاوم دارد. کمترین جرم در حالت طراحی بهینه اتفاق می‌افتد. اما با اعمال عدم قطعیت‌ها در این نقطه مشاهده می‌گردد که کمترین مقاومت را دارا می‌باشد. بر این اساس می‌توان گفت که ساخت سیستم بهینه بدون در نظر گرفتن عدم قطعیت‌های طراحی ممکن است موجب افزایش هزینه و کاهش شدید راندمان وسیله گردد.
- می‌توان با انتخاب تابع هدفی که در بردارنده مفاهیم طراحی مقاوم و قابلیت اطمینان است سیستمی طراحی کرد که خاصیت بهینه‌گی، مقاوم بودن و قابلیت اطمینان را توأمان داشته باشد.
- در پایان می‌توان گفت توجه به عدم قطعیت‌ها و نامعینی‌ها و تحلیل حساسیت عوامل بحرانی در طراحی سیستم‌های پیچیده قابل توجیه و ضروری است.

مراجع

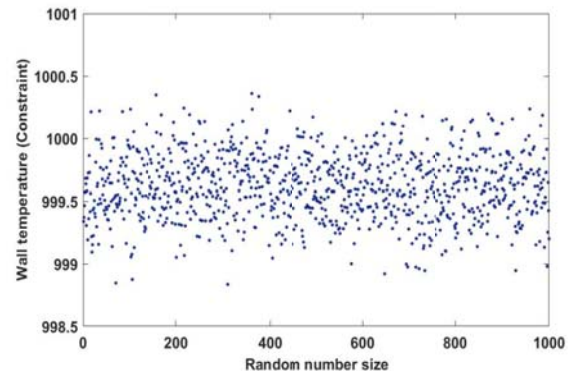
- [1] Beale, E. M., "On minimizing a convex function subject to linear inequalities," *Journal of the Royal Statistical Society. Series B (Methodological)*, Vol. 17, No. 2 , 1955, pp. 173-184.
- [2] T. S. Hené, V. Dua, E. N. Pistikopoulos, "A hybrid parametric/stochastic programming approach for mixed-integer nonlinear problems under uncertainty", *Industrial & engineering chemistry research*, Vol. 41, No. 1, 2002, pp. 67-77.
- [3] L. Stougie, Design and analysis of algorithms for stochastic integer programming, Ph.D. Thesis, 1987.
- [4] F. Bastin, "Trust-region algorithms for nonlinear stochastic programming and mixed logit models,"



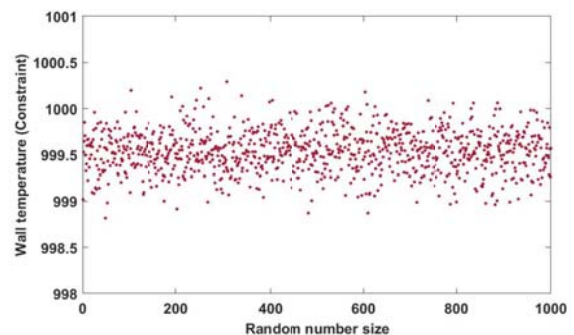
شکل ۱۳- مقایسه انحراف معیار جرمی حاصل از روش‌های طراحی



شکل ۱۴- اثر عدم قطعیت‌ها بر دمای دیواره محفظه احتراق در روش طراحی بهینه



شکل ۱۵- اثر عدم قطعیت‌ها بر دمای دیواره محفظه احتراق در روش طراحی بهینه مقاوم



شکل ۱۶- اثر عدم قطعیت‌ها بر دمای دیواره محفظه احتراق در روش طراحی مقاوم

- [16] Marvis, D. N. , Delaurentis D. A., "Uncertainty Modeling And Management In Multidisciplinary Analysis And Synthesis," *Aiaa*, 2000.
- [17] Kim, Tae-Hyoung, Ichiro Maruta, and Toshiharu Sugie. "Robust PID controller tuning based on the constrained particle swarm optimization," *Automatica* , vol. 44, 2008, pp. 1104-1110.
- [18] Michael J. G. , Robust Control Systems, Wiley, 2006.
- [19] D. Schrage, T. Beltracchi, A. Dodd, L. Niedling, J. Sobiesczanski-Sobieski, "technical committee on multidisciplinary design optimization (MDO) white paper on current state of the art," *AIAA Paper MDO Technical Committee Report*, 1991 .
- [20] J. P. Giesing, J.-F. M. Barthelemy, "A summary of industry MDO applications and needs," *AIAA White Paper*, 1998.
- [21] Jamali, Sajjad, Seyedhosein Poortakdoost, and Seyed javad Mousavi. "Multidisciplinary and multiobjective optimization of a flying projectile using evolutionary algorithm (NSGA-II)," *Journal of Aviation*, Vol.16, No. 1, 2014, pp.17-32.(in Persian).
- [22] Brown, Nichols F., and John R. Olds. "Evaluation of multidisciplinary optimization techniques applied to a reusable launch vehicle." *Journal of Spacecraft and Rockets*, Vol.43, No. 6, 2006, pp.1289-1300.
- [23] G. Taguchi, S. Chowdhury, S. Taguchi, "McGraw Hill Professional", *Robust engineering*: 2000.
- [24] N. P. Suh, S.-H. Do, "Axiomatic design of software systems," *CIRP Annals-Manufacturing Technology*, Vol. 49, No. 1, 2000, pp. 95-100 .
- [25] G.J. Park, T.H. Lee, K. H. Lee, K.H. Hwang, "Robust design: an overview," *AIAA journal*, Vol. 44, No. 1, 2006, pp. 181-191.
- [26] W. Y. Fowlkes, C. M. Creveling, "Engineering methods for robust product design," *Addison-Wesley*, 1995.
- [27] K. dEntremont, K. Ragsdell, "Design for latitude using TOPT," *ASME Advances in Design Automation, DE*, 1988, pp. 265-272.
- [28] Adami, Amirhossein, Mahdi Mortazavi, and Mehran Nosratollahi. "Multidisciplinary design optimization of hydrogen peroxide monopropellant propulsion system using GA and SQP." *International Journal of Computer Applications*, Vol. 113, No. 9, 2015, pp. 14-21.
- [29] Sutton, George P., and Oscar Biblarz. Rocket propulsion elements. 7th edition, John Wiley & Sons, 2017.
- [30] Adami, Amirhossein, Mortazavi, M., Nosratollahi ., "Heat Transfer Modeling of Bipropellant Thrusters for using in Multidisciplinary Design Optimization Algorithm." *Journal of Fluid Flow*, Vol. 2, 2015.
- [31] Marquis, J. P., "Doctorat en sciences économiques Université Notre Dame de Namur Belgique Union Européenne, Namur, Belgium, Ph.D. Thesis, 2004.
- [32] J. M. Mulvey, R. J. Vanderbei, S. A. Zenios, "Robust optimization of large-scale systems," *Operations research*, Vol. 43, No. 2, 1995, pp. 264-281.
- [33] Steve, H., "Launch Vehicle and Spacecraft System Design Using the Pistonless Pump," *Space 2004 Conference and Exhibit*, American Institute of Aeronautics and Astronautics, Vol.7004, 2004.
- [34] Erichsen, P., "A Quick-Look Analysis Tool for the Impulse Performance of Spacecraft Propulsion Systems," *Presented at the 2nd European Conference for Aerospace Sciences (EUCASS)*, Brussels, Belgium, 2007.
- [35] Juergen, M., "Thruster Options for Microspacecraft - A Review and Evaluation of Existing Hardware and Emerging Technologies," *Presented at the 33rd Joint Propulsion Conference and Exhibit*, Seattle, WA, 1997.
- [36] Limbourg P., Aponte S., "An Optimization Algorithm For Imprecise Multi-Objective Problem Functions," *Evolutionary Computation* vol. 1, 2005, pp. 459-466.
- [37] Naseh H, Alipour A. Propellant Management Device (PMD) Design Optimization of Hydrazine Fuel Tank. IQBQ. Vol.17, No. 7, 2017, pp.152-160 .(in Persian).
- [38] Fazeley, H. R., Taei, H., Naseh, H., & Mirshams, M. "A multi-objective, multidisciplinary design optimization methodology for the conceptual design of a spacecraft bi-propellant propulsion system." *Structural and Multidisciplinary Optimization*, Vol.53, No. 1, 2016, pp.145-160.
- [39] Karimi .H, Safaei .H, Mohammadi. M, *Presented at the 14rd Joint International Conference of the Iranian Aerospace Society*, , 2014.(in Persian).
- [40] Nosratollahi, M., Adami, A. H., Multidisciplinary design optimization of a controllable reentry capsule for minimum landing velocity, in *51st AIAA/ASME/ASCE/AHS/ASC Structures, Structural Dynamics, and Materials Conference 18th AIAA/ASME/AHS Adaptive Structures Conference* ۱۴th, 2010, pp. 3009.
- [41] DU X. and Chen, W., "Collaborative Reliability Analysis under the Framework of Multidisciplinary Systems Design," *journal of Optimization and Engineering*, Vol. 6, 2013, pp. 63-84.
- [42] Gu, X., Ranaud, J., Batill, S., Brach, R. and Budhiraja, A., "Worst casepropagated uncertainty of multidisciplinary systems in robust design optimization," *Struct Multidisciplin Optim* , Vol. 20, No. 3, 2000, pp. 190-213.